

ORIGINAL ARTICLE

Skin Touch Effects of Gold Nanoparticles in Male Mice

Marziyeh Ziae Ghahnavieh¹,
Mahboobeh Ziae Ghahnavieh²,
Nooshin Naghsh³,
Elahe Dorostkar¹

¹ MSc Student in Biology, Department of Biology, Payame Noor University, Tehran, Iran
² BSc in Labarotary Sciences, Department of Medical Technology, Isfahan University of Medical Sciences, Isfahan, Iran
³ Assistant Professor, Department of Biology, Islamic Azad University, Falavarjan Branch, Isfahan, Iran

(Received August 20, 2013 ; Accepted January 18, 2013)

Abstract

Background and purpose: Despite relative neutrality of metal gold in chemistry reactions, there is a concern about skin absorption and toxicity of gold nanoparticles that nowadays are increasingly used around us. On the other hand, judging from liver detoxification, in this study, the histological alterations of liver and their enzymes and blood cells were investigated in mice by touch of gold nanoparticles.

Material and Methods: The backs of 32 male mice were shaved and then were divided into control group in which their back skins were touched with 0.2ml/day distilled water and 3 groups (25, 50,100 ppm) that were being treated with 0.2 ml/day of gold nanoparticles with mentioned doses and 10 nm diameter for 14 days. Finally, their blood was taken for hematology and biochemistry tests and their livers were removed for histopathology tests.

Results: To compare the liver tissues of the control group with 3 other groups showed some abnormalities in liver tissues of all treated groups that in 50 & 100 ppm were significant. The levels of two liver enzymes (ALT,AST) and CBC (complete blood count) of control group in comparison with 3 other groups showed that ALT enzyme levels in 50 &100 ppm groups had increased but the levels of ALT & AST in other groups decreased (not significant) and also the values of CBC test showed no significant differences.

Conclusion: Touch of gold nanoparticles and conditions of this study has toxic effect on the liver of male mice. So, this has a hazard potential.

Keywords: Gold nanoparticles, male mice, liver, liver enzymes, blood cells

J Mazand Univ Med Sci 2014; 24(Supple 1): 225-232 (Persian).

اثرات تعاس پوستی نانو ذرات طلا در موش های سوری نر

مرضیه ضیایی قهنویه^۱

محبوبه ضیایی قهنویه^۲

نوشین نقش^۳

الهه درستکار^۱

چکیده

سابقه و هدف: با وجود ختنی بودن تقریبی فلز طلا در واکنش‌های شیمیایی، نگرانی از جذب پوستی و سمیت نانوذرات طلا که امروزه به طور روز افزون در پیرامون ما به کار می‌روند، وجود دارد. با توجه به عمل سمزدایی ارگان کبد، تأثیر تماس پوستی این نانوذره بر بافت کبد، دو آنزیم کبدی و سلول‌های خونی در موش‌های سوری نر بررسی شد.

مواد و روش‌ها: موهای پشت ۳۲ مosh تراشیده شد و سپس موش‌ها، به چهار گروه تقسیم شدند. گروه‌های ppm و ۵۰ و ۱۰۰ که روزانه ۰/۲ میلی لیتر نانوذرات طلای کروی به قطر ۱۰ نانومتر و با غلظت‌های ذکر شده به پشت شان تماس داده می‌شد (به مدت ۱۴ روز) و گروه کنترل که روزانه ۰/۲ میلی لیتر آب مقطر به پوست پشت آن‌ها تماس داده می‌شد خون‌گیری، آزمایشات هماتولوژی و بیوشیمیایی و همچنین آزمایشات بافت شناسی کبد صورت گرفت.

یافته‌ها: مقایسه بافت کبد گروه کنترل با سه گروه تیمار، اختلالات بافت کبد را در همه گروه‌های تیمار شده نشان داد که در گروه ۱۰۰ ppm و ۵۰ این اختلاف معنی‌دار بود. مقایسه سطوح آنزیم‌های کبدی (ALT,AST) و شمارش سلول‌های خونی (CBC) گروه کنترل با سه گروه تیمار دیگر، نشان داد که سطح آنزیم ALT در گروه‌های ۱۰۰ ppm و ۵۰ افزایش یافت ولی سطح آنزیم‌های AST در سایر گروه‌ها کاهش یافت (غیر معنی‌دار) و همچنین برخی فاکتورهای آزمایش CBC نیز تغییرات غیر معنی‌داری نشان دادند.

استنتاج: تماس پوستی نانوذرات طلا با شرایط ذکر شده در این مطالعه، بر بافت کبد موش‌های سوری نر اثر سمی داشته و بالقوه خطرناک می‌باشد.

واژه‌های کلیدی: نانوذرات طلا، موش سوری نر، کبد، آنزیم‌های کبدی، گلbul‌های خونی

مقدمه

کوچک‌تر بودن اندازه نانو ذرات از سلول و اندامک‌های سلولی، آن‌ها می‌توانند به راحتی به درون این اجزاء نفوذ یابند^(۱). پوست از سه لایه اپiderم، درم و چربی تشکیل شده است و جذب پوستی نانو ذرات از

یک نانومتر یک میلیارد متر است و اولین اثر کاهش اندازه ذرات در این مقیاس، افزایش سطح در واحد جرم^(۲) و در نتیجه افزایش سطح تماس ماده با سایر عناصر و واکنش با آن‌ها است^(۳). به دلیل

ziaeel3@gmail.comE-mail:

مؤلف مسئول: مرضیه ضیایی قهنویه - تهران: دانشگاه پام نور، گروه زیست شناسی

۱. دانشجوی کارشناس ارشد بیوشیمی، دانشگاه پام نور، تهران، ایران

۲. کارشناس علوم آزمایشگاهی، دانشگاه علوم پزشکی اصفهان، اصفهان، ایران

۳. استادیار، گروه زیست شناسی، دانشگاه آزاد اسلامی، فلاورجان، اصفهان، ایران

۴. تاریخ دریافت: ۱۳۹۲/۰۵/۲۹ تاریخ ارجاع جهت اصلاحات: ۱۳۹۲/۰۶/۲۰ تاریخ تصویب: ۱۳۹۲/۱۰/۲۸

نمی دهد و پایدارترین فلز در طبیعت، با کمترین اثر بیولوژیکی شناخته شده است^(۱۷) اما امروزه به دلیل استفاده روزافرون نانوذرات طلا در وسایل آرایشی، کرمها و ماسک‌های صورت، غذا و نوشیدنی‌ها، خمیردنдан و رنگ اتموپیل، وسایل نوری و الکترونیکی و مواد بیوشیمیایی و در زمینه‌های پزشکی، نگرانی از تأثیر سوء آن در بدن وجود داشته و بنابراین در این پژوهش به بررسی تأثیرات ناشناخته تماس پوستی این نانوذره روی بافت کبد و دو آنزیم کلیدی آن و همچنین شمارش سلول‌های خونی بر روی موش‌های سوری نر پرداخته شد.

مواد و روش‌ها

تهیه محلول نانوذرات طلا

جهت سنتز محلول نانوذرات طلا از AuCl₄ به عنوان پیش ماده طلا استفاده شد و یون‌های طلای موجود در محلول به کمک سیترات احیا شد و سوپسانسیون نانوذرات طلا با غلظت ppm ۱۰۰ تولید شد و سپس سایر غلظت‌های مورد نیاز با رقیق کردن محلول اصلی نانوذرات طلا با آب مقطر تهیه شد.

گروه‌بندی و تیمار حیوانات

۳۲ موش سوری نر سفید نژاد آلینو با میانگین وزن ۲۵ گرم از دانشگاه علوم پزشکی اهواز خریداری شد. برای انجام این مطالعه بر اساس دستورالعمل نگهداری و استفاده از حیوانات آزمایشگاهی، در لانه حیوانات دانشگاه اصفهان نگهداری شد. قبل از شروع آزمایش حیوانات یک هفته در شرایط این محیط نگهداری شدند تا به محیط عادت نمایند. موش‌ها در دمای ۲۶-۲۷ درجه سانتی‌گراد ورطوبت 60 ± 10 درصد و در چرخه ۱۲ ساعت روشنایی و ۱۲ ساعت تاریکی در قفسه‌هایی با جنس پلی وینیل کربنات با ابعاد $40\times20\times15$ که در زیر آن‌ها کاه قرار داده شده بود، نگهداری شدند و با آب و غذای نرمال تغذیه می‌شدند. موهای پشت همه موش‌ها با موzer به ابعاد 11×1 cm تراشیده شد و سپس به طور

طریق پوست، بحث برانگیز است. چندین مطالعه نفوذ نانوذرات از طریق پرتوئین خارجی اپیدرم (Stratum Corneum) (۵-۷) و یا نفوذ نانوذرات کروی با قطر بین nm ۷۵۰ تا ۱۱۶، از طریق فولیکول‌های مو و سوراخ‌های اپیدرم و پوست آسیب دیده را ثابت کرده‌اند (۸-۱۰). اما ایجاد ازدیاد حساسیت پوستی تیپ چهار در تماس با فلزات و یا نانوذرات دی‌اکسید تیتانیوم موجود در کرم‌های ضد آفتاب، همگی از تأثیرات مضر نفوذ درمی نانوذرات می‌باشند (۱۱-۱۳).

در بسیاری از پژوهش‌ها، تصاویر میکروسکوپ الکترونی پس از تجویز نانوذرات طلا به بدن نشان داده‌اند که کبد و طحال، دو ارگان بر جسته در تجمع زیستی و متابولیسم نانوذرات طلا به شمار می‌روند (۱۴). کبد با بیش از ۵۰۰ کارکرد حیاتی، پالایشگاه بدن است و هر چیزی که خورده، نوشیده یا تنفس می‌شود و یا با پوست تماس می‌یابد، سرانجام به کبد می‌رسد. تمام خون برگشتی از دستگاه گوارش به کبد رفته و پردازش می‌شود. در هر دقیقه بیش از یک لیتر خون از طریق کبد فیلتر می‌شود و این ارگان می‌تواند باکتری‌ها و سموم را پیش از آن که به جریان خون راه یابند، با استفاده از سیستم آنزیمی با قابلیت بالا (سیستم به P450)، آنزیم‌های شبکه آندوپلاسمی صاف کند و از طریق اکسیداسیون و متیلاسیون، دفع نماید (۱۵). در مقابل، گاهی خود بافت کبد در اثر عدم تعادل آنتی‌اکسیدانی دچار آسیب می‌شود (استرس اکسیداتیو) و بنابراین افزایش حضور آنزیم‌های شاخص کبدی در خون بیانگر آسیب به بافت کبد می‌باشد. آمینوترانسفرازها شامل آلانین آمینوترانسفراز (ALT) و آسپارتات آمینوترانسفراز (AST) حساس‌ترین آنزیم‌های تشخیصی بافت کبد هستند (۱۶).

آزمایش CBC نیز یکی از ابتدایی‌ترین و در عین حال اصلی‌ترین آزمایشی است که می‌تواند به تشخیص بسیاری از بیماری‌ها کمک کند و از آن مهم‌تر، این آزمایش بیانگر شرایط کلی و حیاتی بدن است. لذا اگرچه فلز طلا تقریباً با هیچ ترکیب شیمیایی واکنش

هموگلوبین و هماتوکریت و غیره) و میزان فراوانی آسیب به بافت کبد جمع‌آوری و با استفاده از نرم افزار آماری SPSS19 مورد تجزیه و تحلیل قرار گرفت. آزمون T-Test جهت مقایسه وزن موش‌ها قبل و بعد از تیمار و آزمون‌های آنالیز واریانس یک طرفه (ANOVA) و تست تعقیبی (Dunnett t(2-sided) جهت مقایسه گروه‌های تیمار با گروه کنترل مورد استفاده قرار گرفت. نتایج به صورت میانگین و انحراف استاندارد (Mean \pm sem) بیان و حد معنی‌داری تفاوت‌ها ۰/۰۵ در نظر گرفته شد.

یافته‌ها

کنترل نانوذرات طلا

پس از تهیه سوپاپانسیون نانوذرات طلا، گروه بودن شکل نانوذرات و اندازه نانوذرات طلا (۱۰ نانومتر) در این کلوبید با استفاده از تصاویر میکروسکوپ الکترونی گذاره (TEM) مشاهده و تأیید شد. میکروسکوپ الکترونی عبوری، از سطونی بلند تشکیل شده است که در آن الکترون‌ها از منبع نور در بالای میکروسکوپ متشر می‌شند و از خلاء عبور می‌کنند و توسط عدسی‌های الکترومغناطیسی جمع و متمرکز می‌شوند و در نهایت و به صورت یک پرتو باریک از نمونه عبور می‌کنند و به فیلم یا پرده متشکل از مواد فلورست برخورد و تصویر سیاه و سفید ایجاد می‌کنند. قسمت‌های تاریک‌تر بیانگر عبور الکترون‌های کم‌تر از قسمت‌های با چگالی بیش‌تر نمونه است. سایز و شکل نانوذرات طلا در این آزمایش توسط میکروسکوپ مدل Philips CM10 حدود ۱۰ نانومتر تخمین زده شد (تصویر شماره ۱).

وزن و ظاهر حیوانات

علایم ظاهری و وزن بدن موش‌های سوری نر، قبل و پس از تیمار با نانوذرات طلا، مقایسه شد. هیچ گونه تغییر معنی‌داری در مشخصات ظاهری موش‌ها وجود نداشت. در ضمن در طول آزمایش مرگ و میری مشاهده نشد (جدول شماره ۱).

تصادفی به چهار گروه تقسیم شدند در هر گروه هشت موش قرار گرفت و همه موش‌ها وزن شدند. در گروه کنترل به هر موش، روزانه ۰/۲۰۰ آب مقطر توسط سواب جهت حذف اثر ناشی از شوک به محل تراشیده شده تماس داده شد و به موش‌های گروه‌های ۲۵ و ۱۰۰ ppm روزانه ۰/۲۰۰ نانوذرات طلا با غلظت‌های مذکور به پشت موش‌ها توسط سواب تماس داده شد و جهت جلوگیری از زبان زدن موش‌ها به موضع تیمار یکدیگر، هر موش از دیگری جداگانه نگهداری می‌شد. این آزمایش برای ۱۴ روز متوالی ادامه داشت.

نمونه‌گیری

سه روز پس از آخرین تیمار، همه حیوانات به مدت ۱۲ ساعت تحت شرایط روزه داری قرار گرفتند، توزین شدند و پس از بی‌هوش کردن موش‌ها، خون‌گیری از قلب انجام شد. یک میلی لیتر از خون هر موش به لوله‌های CBC حاوی ۱ میلی گرم ماده ضد انعقاد K₃EDTA منتقل و سریعاً جهت آزمایش CBC توسط دستگاه SYSMEX K1000 ژاپن به آزمایشگاه ارسال شد. بقیه خون گرفته شده از هر موش به لوله‌های پلاستیکی درب دار منتقل شد. پس از ۱۵ دقیقه سانتریفیوژ با دور ۳۰۰۰ سرعت دستگاه اتوآنالایزر 902 Hitachi و AST توسط دستگاه اتوآنالایزر 902 اسپانیا اندازه گیری شد. پس از خون گیری، شکم موش‌ها شکافته و با پنس بافت‌های کبد خارج شد و بلا فاصله در ظرف پلاستیکی محتوی فرمالین ۱۰ درصد قرار داده شد و بعد از مقطع گیری با دستگاه tissue processor، برش‌های با قطر دو میکرومتر توسط دستگاه میکروتوم تهیه شد و با هماتوکسیلین و اوزین رنگ آمیزی شد. برش‌ها زیر میکروسکوپ نوری مشاهده و عکس برداری شد.

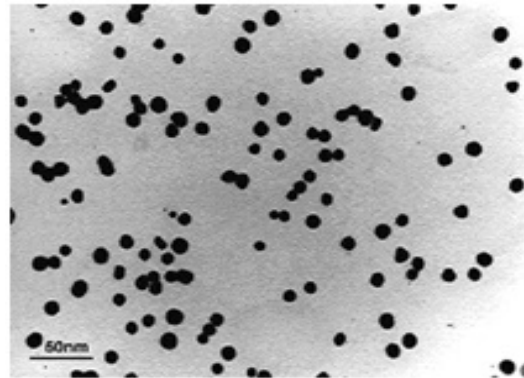
روش آماری

داده‌های حاصل از توزین و نتایج دستگاه اتوآنالایزر (غلظت آنزیم‌های ALT و AST) و دستگاه CBC (تعداد سلول‌های قرمز و سفید و پلاکت و میزان

مقایسه شد فاکتورهای RBC، HCT، HGB، MCHC و PLT در گروه های ۱۰۰ ppm و ۲۵ کاهش و در گروه ۵۰ ppm افزایش یافت و فاکتور MCH و RDW در گروه های ۵۰ ppm و ۲۵ افزایش و در گروه ۱۰۰ ppm کاهش یافت. تعداد گلوبول های سفید در هر سه گروه آزمایشی دچار افزایش و MCV در گروه ۲۵ ppm افزایش و در گروه ۱۰۰ ppm و ۵۰ دچار کاهش یافت. اما هیچ کدام از این تغییرات معنی دار نبودند ($p > 0.05$) (جدول شماره ۳).

نتایج آزمایشات بافت شناسی

پس از تماس نانوذرات طلا به حیوانات و خارج کردن کبد از بدن موش های سوری نر، هیچ تغییر ماقروسکوپی در کبد حیوانات مشاهده نگردید. تغییرات بافتی برش های کبد رنگ آمیزی شده با هماتوکسیلین و ائوزین گروه های تیمار و گروه کنترل در زیر میکروسکوپ نوری به ترتیب زیر بود گروه کنترل، وضعیت لوبول های شش وجهی کبدی، طناب های رماک، سینوزوئیدها، ورید های مرکزی، فضاهای پورت، اجزای سه گانه تریاد پورت و سلول های کوپفر نرمال بود؛ در گروه ۲۵ ppm، هپاتوستیت ها با هسته های کمی هایپر کرم و بزرگ و سینوزوئیدهای تقریباً نازک بودند و تغییرات غیر طبیعی زیادی مشاهده نشد؛ در گروه ۵۰ ppm، تشکل لوبول ها و حالت شش ضلعی بودن آن ها تا حد زیادی از بین رفته بود، هپاتوستیت ها در طناب های رماک منظره کاملاً مترآکم پیدا کرده بودند و در نتیجه سینوزوئیدها پهن تر شدند، ورید های مرکزی تاحدی پرخون و از نظر اندازه کوچک و بزرگ شدند، هسته هپاتوستیت ها در بعضی از لوبول های کبدی کوچک و کمرنگ دیده شد، فضاهای پورت و اجزاء تریاد در مرز لوبول ها چندان قابل تشخیص نبود؛ در گروه ۱۰۰ ppm، مرز لوبول ها کاملاً از بین رفته بود و شش وجهی بودن آن ها را به هیچ عنوان قابل مشاهده نبود، پرخونی های بسیار واضحی در بسیاری از ورید های مرکزی و ورید های پورت و شریان های



تصویر شماره ۱: تصویر نانوذرات طلا با میکروسکوپ الکترونی گذاره

جدول شماره ۱: مقایسه وزن بدن موش های سوری نر قبل و بعد از تیمار نانوذرات طلا

گروه ها	تعداد	وزن بدن(g)	قبل	بعد
گروه کنترل	۸	۲۲/۸±۱/۵	۲۴/۳±۰/۹	
۲۵ ppm	۸	۲۴/۴±۱/۵	۲۴/۴±۱/۶	
۵۰ ppm	۸	۲۵/۸±۱/۲	۲۷/۲±۱/۵	
۱۰۰ ppm	۸	۲۷/۴±۰/۵	۲۵/۰±۰/۸	
سطح معنی داری		$p > 0.05$		

نتایج آزمایشات بیوشیمیابی

پس از تماس نانوذرات طلا به حیوانات، میزان آنزیم کبدی ALT و AST در گروه های تیمار با گروه کنترل مقایسه شد نتایج نشان داد که سطح آنزیم ALT در گروه های ۱۰۰ ppm و ۵۰ دچار افزایش یافت ولی سطوح آنزیم های ALT و AST در بقیه گروه ها کاهش یافته است هر چند که این تغییرات معنی دار نبود ($p > 0.05$) (جدول شماره ۲).

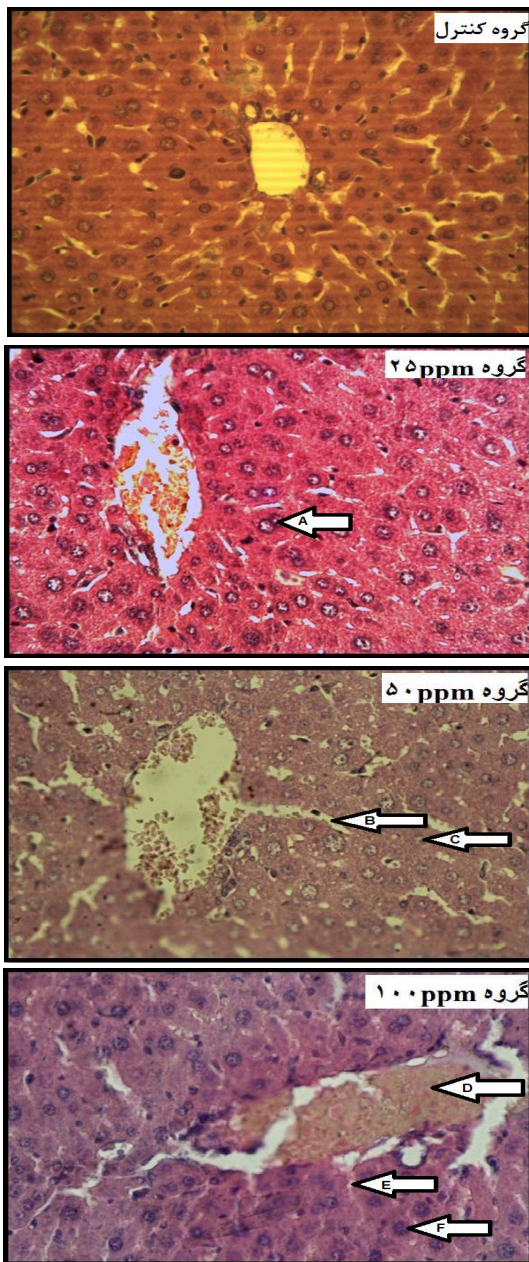
جدول شماره ۲: مقایسه سطوح آنزیمی ALT و AST گروه های تیمار در مقابل گروه کنترل

گروه ها	تعداد	AST(IU/L) (انحراف استاندارد مشیانگی)	ALT(IU/L) (انحراف استاندارد مشیانگی)
گروه کنترل	۸	۱۴۴۶.۷±۲۵۳/۱	۱۶۶/۲±۱۶/۱
۲۵ ppm	۸	۱۸۷/۸±۱۱/۴	۱/۸±۶/۱/۲
۵۰ ppm	۸	۱۴۰/۲±۴۸۰/۱	۱۶۷/۰±۲۵/۹
۱۰۰ ppm	۸	۱۲۶/۴±۱۸/۲	۱۷/۱±۲۱/۱
سطح معنی داری		$p < 0.05$	

نتایج آزمایشات هماتولوژی
پس از تماس نانوذرات طلا به حیوانات، نتایج آزمایش CBC در گروه های تیمار با گروه کنترل

جدول شماره ۳: مقایسه نتایج آزمایش CBC گروه های تیمار در مقابل گروه کنترل

WBC (N $\times 10^3/\mu\text{L}$)	PLT (N $\times 10^3/\mu\text{L}$)	RBC (N $\times 10^6/\mu\text{L}$)	HCT (%)	HGB (g/dl)	MCV (fl)	MCH (pg)	MCHC (g/dl)	RDW-CV (%)	Group
۷/۲±۱/۰	۶۹۲/۵±۱۷۳/۵	۸/۲±۰/۴	۳۴/۳±۱/۸	۱۱/۰±۱/۴	۴۱/۰±۰/۸	۱۱/۰±۱/۱	۳۱/۰±۰/۷	۲۰/۰±۲/۶	گروه کنترل
۵/۳±۰/۱	۶۸۱/۰±۱۰/۵*	۷/۳±۰/۳	۳۰/۰±۰/۴	۱۰/۰±۰/۲	۴۲/۲±۱/۰	۱۳/۷±۰/۳	۳۲/۷±۰/۴	۲۵/۷±۲/۳	۲۵ ppm
۴/۹±۰/۹	۸۰۰/۰±۶۴/۳	۸/۴±۰/۲	۳۴/۴±۱/۰	۱۲/۳±۰/۴	۴۰/۰±۰/۹	۱۴/۰±۰/۳	۳۵/۰±۰/۵	۲۰/۰±۱/۵	۵۰ ppm
۵/۰±۱/۵	۶۴۵/۰±۱۱/۵	۷/۶±۰/۸	۳۱/۳±۲/۷	۹/۸±۱/۲	۴۰/۰±۱/۱	۱۳/۰±۰/۴	۳۱/۶±۱/۶	۲۰/۰±۰/۶	۱۰۰ ppm



تصویر شماره ۴: تصاویر میکروسکوپی برش های بافت کبد گروه های کنترل و تیمار رنگ آمیزی شده با هماتوکسیلین و ائوزین با بزرگنمایی ۴۰۰ برابر. هسته ها تقریباً بزرگ و هایپرکرم (A)، سینوزوئیدهای پهن تر در نتیجه متراکم شدن هپاتوسيت ها (B)، هسته های کوچک و کم رنگ (C)، پرخونی شدید (D)، سینوزوئیدهای نازک در نتیجه هایپرتروفی (بزرگ شدن) هپاتوسيت ها (E)، هسته های بزرگ و هایپرکرم (F).

هپاتیک مشهود بود و به علت هایپرتروفی شدن هپاتوسيت ها، سینوزوئیدها تاحد زیادی نازک شده بود علاوه بر این، در هپاتوسيت ها، هسته های بزرگ و هایپرکرم کاملاً مشهود بودند. در کل با مقایسه بافت کبد نرمال (گروه کنترل) با دیگر گروه های آزمایشی آسیب کم و تفاوت غیر معنی دار بافت کبد در گروه ۲۵ ppm و آسیب بیشتر و تفاوت معنی دار بافت کبد در گروه ۱۰۰ ppm و خصوصاً ۵۰ ppm قابل مشاهده بود (تصویر شماره ۲ و جدول شماره ۴).

جدول شماره ۴: مقایسه میزان آسیب بافت کبد گروه های تیمار در مقابل گروه کنترل

گروه ها	تعداد	سطح معنی داری (انحراف استاندارد تیانگن)	میزان آسیب بافت کبد
گروه کنترل	۸	۰/۰۰±۰/۰۰	
گروه ۲۵ ppm	۸	۰/۰۵±۰/۱۹	
گروه ۵۰ ppm	۸	۱/۵۰±۰/۴۲	
گروه ۱۰۰ ppm	۸	۱/۳۸±۰/۴۶	

بحث

یافته های مرتبط به وزن بدن حیوانات در این مطالعه، نشان داد که ۱۴ روز تماس پوستی نانوذرات طلای کروی به قطر ۱۰ نانومتر و با دوزهای ۲۵ و ۵۰ ppm موجب اعمال سمیت حاد در کل بدن نمی شود. کاهش وزن جزیی در همه گروه های تیمار را می توان بک پاسخ سازگار و نرمال به ماده سمنی قلمداد کرد (۱۸). سلول های اندوتیال جدار عروق خونی سد فیزیکی برای عبور ذرات قلمداد می شود ولی در برخی ارگان های خاص از قبیل کبد، این اندوتیوم سوراخ دار بوده و اندازه سوراخ های آن بیشتر از ۱۰۰ نانومتر است (۱۹) و بنابراین نانوذرات طلای کروی استفاده

فقط در سیتوپلاسم سلول‌ها وجود دارد(۲۴)، بنابراین در این مطالعه، افزایش سطح ALT در گروه‌های ۵۰ و ۱۰۰ ppm دلیلی بر آسیب غشای میتوکندری و غشای هپاتوسیت‌های کبد به علت حمله اکسیدانی رادیکال‌های آزاد حاصل از نانوذرات طلا می‌باشد.

در تحقیق حاضر، تماس دادن نانوذرات طلا به بدن موش‌های سوری نر با قطر و غلظت‌های ذکر شده، به مدت ۱۴ روز موجب هیچ‌گونه تغییر معنی‌داری در تعداد RBC‌ها و سایر فاکتورهای مربوط به RBC نشد به علاوه هیچ‌گونه افزایش یا کاهش معنی‌داری در تعداد گلbul‌های سفید موش‌های سوری نر نیز مشاهده نگردید بنابراین می‌توان گفت که تماس نانوذرات طلا با قطر ۱۰ نانومتر و دوزهای ذکر شده به مدت ۱۴ روز موجب عفونت، التهاب و سمیت حاد در موش‌های سوری نر نمی‌شود زیرا همان‌طور که می‌دانیم به طور کلی افزایش در تعداد WBC، یک واکنش نرمال فیزیولوژیک التهابی به مواد خارجی وارد شده به خون است و کاهش تعداد WBC‌ها، به دلیل ورود دوز بیش از حد ماده سمی به بدن و عفونت است(۲۵). Jue Hyuck و همکارانش نیز تأثیر سمیت استنشاق یک دوره ۹۰ روزه نانوذرات طلا با قطر پنج نانومتر و با سه دوز $\mu\text{g}/\text{m}^3$ و ۰/۳ و ۰/۰۴ روی رت‌های نر و ماده را مورد آزمایش قرار دادند و به این نتیجه دست یافتند که با وجود التهاب خفیف و افزایش ماکروفازهای بافت ریه، تعداد سلول‌های سفید خون و هم‌چنین دیگر سلول‌های خونی در نتایج هماتولوژی، تفاوت معنی‌داری را نشان نداد(۲۶).

سپاسگزاری

نویسنده‌گان این مقاله کمال قدردانی و تشکر را از همه کسانی که در این پژوهش مساعدت نمودند، دارند. این پژوهش قسمتی از پایان نامه نویسنده مسئول بوده و هزینه‌های آن نیز توسط شخص نویسنده مسئول پرداخت گردیده است.

شده در مطالعه حاضر با قطر ۱۰ نانومتر، به آسانی از دیواره عروق خونی بافت کبد عبور کرده و وارد این ارگان شده است.

Lasagna و همکارانش در سال ۲۰۱۰ میزان تجمع نانوذرات طلا با قطر ۱۲/۵ نانومتر در ارگان‌های بدن، پس از هشت روز تزریق داخل صفاقی به موش‌های سوری مورد بررسی قرار دادند. مشاهده نانوذرات طلا در سلول‌های کوپفر توسط میکروسکوپ الکترونی، نشان داد که بیشترین تجمع نانوذرات در کبد است(۲۰) که این امر به دلیل تجمع زیاد ماکروفازهای سیستم ریکولوندوتیال اینمی در کبد می‌باشد (۲۵ بیلیون سلول کوپفر در کبد هر انسان قرار دارد)(۲۱). Abdelhalim Jarraar نیز طی پژوهشی اثر هیستوپاتولوژیک تزریق داخل صفاقی نانوذرات طلا طی هفت روز و با سه اندازه ۱۰ و ۲۰ و ۵۰ نانومتر بر کبد رت‌ها را مورد بررسی قرار دادند که نانوذرات طلای کروی با قطر ۱۰ نانومتر بیشترین اثر تخریبی را نشان داده این اثرات تخریبی شامل تغییر شکل هسته هپاتوسیت‌ها، تخریب سیتوپلاسم، تغییر ساختار سینوزوئیدها و ورید پورت و مرکزی است و در نهایت چنین استنباط کردند که در اثر القای واکنش استرس اکسیداتیو (ROS)، بافت کبد چهار آتروفی و آپوپتوز و سپس نکروز گردیده است(۲۲). نتایج هیستوپاتولوژی بافت‌های کبد این مطالعه، حاکی از تأثیرپذیری خفیف تا شدید بافت کبد در همگی گروه‌های تیمار شده بود و این تغییرات در دو گروه ۵۰ و ۱۰۰ ppm موجب تأثیر بر سطوح آنزیمی و افزایش آنزیم ALT نیز شد. از آنجا که کبد یک ارگان مهم در متابولیسم و سرم زدایی مواد خارجی و سمی است و با آسیب‌پذیری خود طی متابولیزه کردن مواد بیگانه در واکنش‌های پیچیده که خود باعث اثرات مخرب بر بافت کبد می‌شود، موجب کاهش صدمه به بدن می‌گردد(۲۳). افزایش سطح آنزیم‌های ALT و AST در خون نشان‌دهنده آسیب کبدی می‌باشد. ایزوآنزیم‌های AST هم در میتوکندری و هم در سیتوپلاسم و آنزیم

References

1. Frb U, Aust KT, Palumbo G. In nanostructured materials. Processing, properties and potential applications. New York: Noyes; 2002. p. 179-222.
2. Lanone S, Boczkowski J. Biomedical applications and potential health risks of nanomaterials: molecular mechanisms. *Curr Mol Med* 2006; 6(6): 651-663.
3. Yu LE, Yung L-YL, Balasubramaniam KS, Hartono D, Shui G, Wenk RM, et al. Translocation and effects of gold nanoparticles after inhalation exposure in rats. *Nanotoxicology* 2007; 1(3): 235-242.
4. Buzea C, Pacheco Blandino II, Robbie K. Nanomaterials and nanoparticles: Sources and toxicity. *Biointerphases* 2007; 2(4): MR17-MR172.
5. Hoet PH, Brüske-Hohlfeld I, Salata OV. Nanoparticles- known and unknown health risks. *J Nanobiotechnology* 2004; 2(1): 12.
6. Borm PJ, Robbins D, Haubold S, Kuhlbusch T, Fissan H, Donaldson K, et al. The potential risks of nanomaterials: a review carried out for ECETOC. Part Fibre Toxicol 2006; 3: 11.
7. Corachan M, Tura JM, Campo E, Soley M, Traveria A. Podoconiosis in Aequatorial Guinea. Report of two cases from different geological environments. *Trop Geogr Med* 1988; 40(4): 359-364.
8. Toll R, Jacobi U, Richter H, Lademann J, Schaefer H, Blume-Peytavi U. Penetration profile of microspheres in follicular targeting of terminal hair follicles. *J Invest Dermatol* 2004; 123(1): 168-176.
9. Corachán M. Endemic non-filarial elephantiasis of the lower limbs: podoconiosis. *Med Clin (Barc)* 1988; 91(3): 97-100.
10. Mott JA, Meyer P, Mannino D, Redd SC, Smith EM, Gotway-Crawford C, et al. Wildland forest fire smoke: health effects and intervention evaluation, Hoopa, California, 1999. *West J Med* 2002; 176(3): 157-162.
11. Monteiro-Riviere NA, Nemanich RJ, Inman AO, Wang YY, Riviere JE. Multi-walled carbon nanotube interactions with human epidermal keratinocytes. *Toxicol Lett* 2005; 155(3): 377-384.
12. Tinkle SS, Antonini JM, Rich BA, Roberts JR, Salmen R, DePree K, et al. Skin as a route of exposure and sensitization in chronic beryllium disease. *Environ Health Perspect* 2003; 111(9): 1202-1208.
13. Nohynek GJ, Lademann J, Ribaud C, Roberts MS. Grey goo on the skin? Nanotechnology, cosmetic and sunscreen safety. *Crit Rev Toxicol* 2007; 37(3): 251-277.
14. De Jong WH, Hagens WI, Krystek P, Burger MC, Sips AJ, Geertsma RE. Particle size-dependent organ distribution of gold nanoparticles after intravenous administration. *Biomaterials* 2008; 29(12): 1912-1919.
15. Kasper DL, Braunwald E, Fauci AS, Hauser SL, Longo DL, Jameson JL. Harrison's Principles of internal medicine, 16th ed. McGraw-Hill Medical Publishing Division; 2005.
16. Schumann G, Bonora R, Ceriotti F, Férand G, Ferrero CA, Franck PF, et al. IFCC primary reference procedures for the measurement of catalytic activity concentrations of enzymes at 37 degrees C. International Federation of Clinical Chemistry and Laboratory Medicine. Part 5. Reference procedure for the measurement of catalytic concentration of

-
- aspartate aminotransferase. Clin Chem Lab Med 2002; 40(7): 725-733.
17. Waalkes MP. An ecotoxicological study of population of the white foot mouse (*peromyscus leucopus*) in haluting a polychlorinated biphenyls contaminated area. Arch Environ Contam Toxicol 1990; 19(2): 283-290.
18. Rhiouani H, El-Hilaly J, Israili ZH, Lyoussi B. Acute and sub-chronic toxicity of an aqueous extract of the leaves of *Herniaria glabra* in rodents. J Ethnopharmacol 2008; 118(3): 378-386.
19. Schwab AJ, Pang KS. The multiple indicator dilution method and its utility in risk assessment. Environ Health Perspect 2000; 108(Suppl 5): 861-872.
20. Lasagna-Reeves C, Gonzalez-Romero D, Barria MA, Olmedo I, Clos A, Sadagopa Ramanujam VM, et al. Bioaccumulation and toxicity of gold nanoparticles after repeated administration in mice. Biochem Biophys Res Commun 2010; 393(4): 649-655.
21. Singer JM, Adlersberg L, Sadek M. Long-term observation of intravenously injected colloidal gold in mice. J Reticuloendothel Soc 1972; 12(6): 658-671.
22. Abdelhalim MA, Jarrar BM. Histological alterations in the liver of rats induced by different gold nanoparticle sizes, doses and exposure duration. J Nanobiotechnology 2012; 10: 5.
23. Nalpas B, Vassault A, Le Guillou A, Lesgourgues B, Ferry N, Lacour B, et al. Serum activity of mitochondrial aspartate aminotransferase: a sensitive marker of alcoholism with or without alcoholic hepatitis. Hepatology 1984; 4(5): 893-896.
24. Rousselot P, Larghero J, Labaume S, Poupon J, Chopin M, Dosquet C, et al. Arsenic trioxide is effective in the treatment of multiple myeloma in SCID mice. Eur J Haematol 2004; 72(3): 166-171.
25. Sung JH, Ji JH, Park JD, Song MY, Song KS, Ryu HR, et al. Subchronic inhalation toxicity of gold nanoparticles. Part Fibre Toxicol 2011; 8: 16.